

9363

Bibl. Jag.

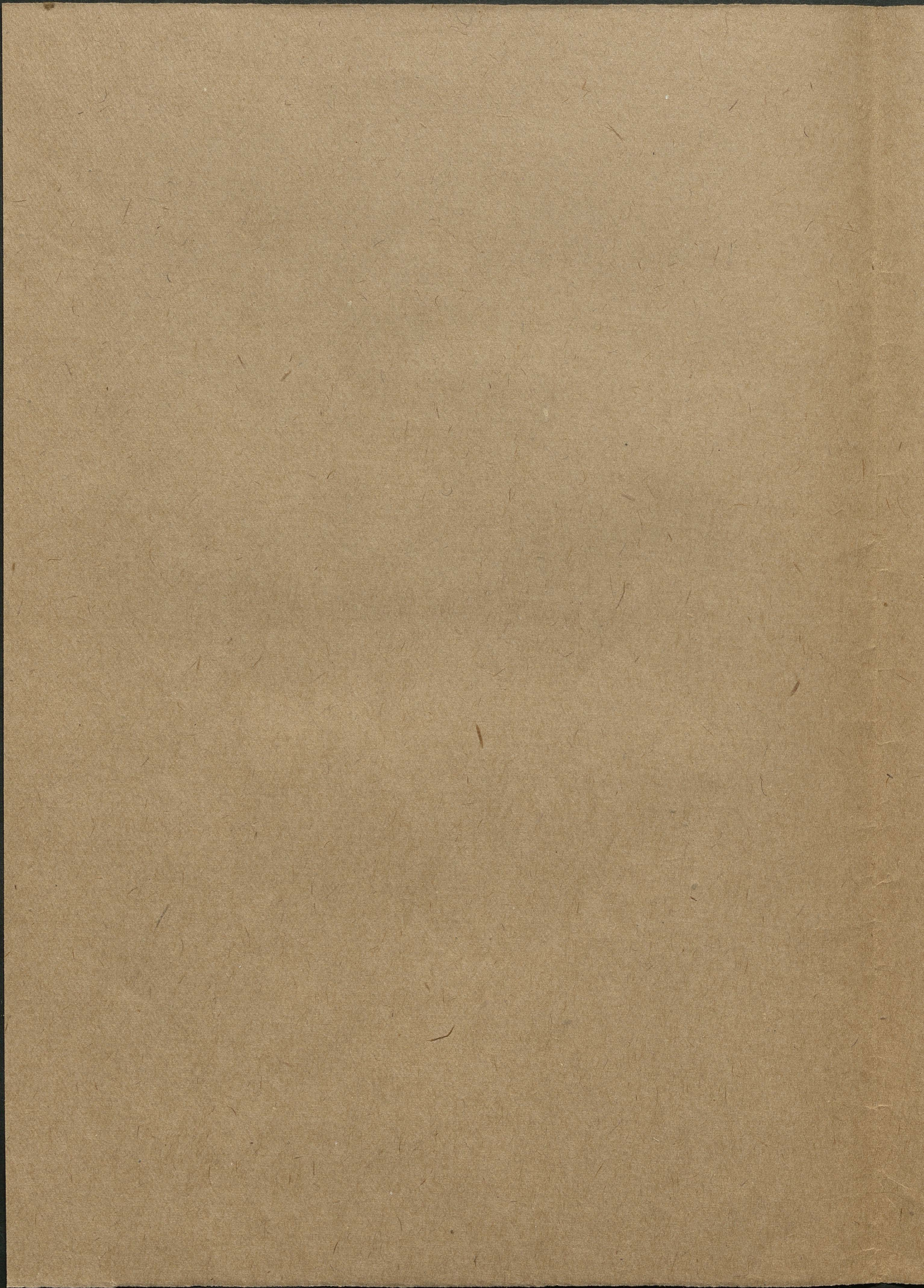
IV



9365

M. Smoluchowski

Studien über Kolloidstatistik --
Theoretische Bemerkungen --



Studien über Kolloidstatistik und den Mechanismus der Diffusion

[71]

de. Kolloid-Zeit. 18. S. 48-53

W. v. Smoluchowski

Lang. J. 14. 2. 16.

I.

Einer Anregung der gelehrten Schriftleitung folgend möchte ich im Folgenden eine zusammenfassende Übersicht über einen neuen und noch manchen Erfolg versprechenden Zweig der Kolloidforschung geben, welchen man vielleicht kurz als Kolloidstatistik bezeichnen könnte. Die Entwicklung derselben gieng von gewissen theoretischen Untersuchungen^{*)} aus, welche ich ~~im~~ im J. 1903 und 1907 betrefFs der Wahrscheinlichkeit des Auftretens automatischer Dichte- und Konzentrations-Schwankungen in Gasen und Lösungen angestellt hatte, und welche auch hier kurz berührt werden müssen.

Ohne alle Rechnung ist verständlich, dass die ^{Ges-} (Moleküle, bzw. Kolloidteilchen in einem gegebenem Volumen ^{sich} nicht genau gleichförmig anordnen werden, denn dies wäre gleichbedeutend mit der Regelmäßigkeit der Anordnung, welche für den kristallinen Zustand charakteristisch ist. Aber sind die Zahl n der augenblicklich in gleichgroßen Volumenteilen ^V vorhandenen Teilchen bald größer, bald kleiner, als der Durchschnittswert \bar{n} , welcher bei gleichmäßiger Verteilung derselben resultieren müsste, so dass der Betrag der Verdichtung $\delta = \frac{n - \bar{n}}{\bar{n}}$ in verschiedenen Teilen unregelmäßige positive und negative Werte annimmt. Als Maß der Ungleichförmigkeit führt man am besten^{*)} den Betrag des sog. mittleren Schwankungsquadrates $\overline{\delta^2}$ ein, d. i. den Durchschnittswert der Verdichtungsquadrate. ~~Hierfür~~

Hierfür ergeben nun jene molekulare theoretischen Berechnungen die einfache Formel

$$\overline{\delta^2} = \frac{HT}{N} \beta \tag{1}$$

in welcher H die allgemeine Gaskonstante, N die Loschmidt-Avogadro'sche Zahl, T die absolute Temperatur und β die osmotische Kompressibilität: $\beta = \frac{1}{\bar{v}} \frac{\partial \bar{v}}{\partial p}$ bedeutet.

Für den Fall, wenn die Teilchen keinerlei Anziehungs- oder Abstößungskräfte auf einander

*) Boltzmann-Festschrift 1904 p. 626; Ann. d. Phys. 25, 205, 1908. Zum Teile ~~ist~~ ist diese Theorie in ausführlicher Form von R. Lorenz u. W. Eitel niedergegeben worden; Z.S. f. phys. Chem. 87, 293, 434, 1914.

**) Man kann statt dessen auch den durchschnittlichen Betrag der Absolutwerte $|\delta|$ einführen, wie dies in Svobodsky's Arbeit gescheh, doch sind die betreffenden Rechnungen etwas unständlicher. Für die Resultate ist das ohne Einfluss.

Die hier über die Statistik und die Verhältnisse der Bevölkerung

Dr. v. ...

I.

Die Statistik ist eine Wissenschaft, die sich mit der Erforschung der Verhältnisse der Bevölkerung beschäftigt. Sie ist eine wichtige Grundlage für die Politik und die Verwaltung.

Die Statistik ist eine Wissenschaft, die sich mit der Erforschung der Verhältnisse der Bevölkerung beschäftigt. Sie ist eine wichtige Grundlage für die Politik und die Verwaltung.

Die Statistik ist eine Wissenschaft, die sich mit der Erforschung der Verhältnisse der Bevölkerung beschäftigt. Sie ist eine wichtige Grundlage für die Politik und die Verwaltung.

$$\frac{H}{V} = \frac{H}{V}$$

Die Statistik ist eine Wissenschaft, die sich mit der Erforschung der Verhältnisse der Bevölkerung beschäftigt. Sie ist eine wichtige Grundlage für die Politik und die Verwaltung.

ansetzen, wenn also für den osmotischen Druck des Doyle'schen Gesetze gilt, reduziert sich dasselbe auf:

$$\bar{S}^2 = \frac{1}{V} \quad \text{--- -- -- -- (2)}$$

Dann ist also das mittlere Verdichtungsquadrat gleich dem reziproken Werte der durchschnittlich auf das betrachtete Volumen entfallenden Teilchenzahl. Wird der betreffende Kompressibilitäts-Koeffizient mit β_0 bezeichnet, so kann ~~(1)~~ auch in der übersichtlichen Form ~~g~~ dargestellt werden:

$$\beta = \beta_0 \cdot \bar{S}^2 \quad \text{--- -- -- -- (3)}$$

Der Sinn dieser Beziehung ist übrigens auch ohne Rechnung verständlich, denn eine Vergrößerung des Verdichtungsquadrates (Neigung zur „Schwarmingbildung“) weist offenbar auf innere Anziehungskräfte hin, welche gleichzeitig eine Verminderung der Kompressibilität bewirken müssen, während eine auf der Existenz abstoßender Kräfte beruhende überproportige Gleichförmigkeit mit einer Verminderung der Kompressibilität parallel geht.

Jene Inhomogenitäten der Dichte, bzw. Konzentration, welche unter Umständen (im krit. Lösungspunkt, in hochkolloidalen Lösungen) sich außerordentlich steigern, geben sich bekanntlich optisch als Opaleszenz (Tyndall'sches Phänomen) zu erkennen, und auf diesem für weitere Forschung noch sehr aussichtsreichen Gebiete hat jene Theorie bereits mancherlei experimentelle Bestätigungen und auch theoretische Ergänzungen erfahren.*) Ohne hierauf an dieser Stelle näher einzugehen, wollen wir die direkten Anwendungen jener ~~theoretischen~~ Überlegungen auf statistische Zählungen von Kolloidteilchen besprechen, welche gemäß dem eben Gesagten die Erkenntnis der Gesetze des osmotischen Druckes und der zwischen den Teilchen wirkenden Kräfte ermöglichen.

Offenbar sind zwei Methoden zur Bestimmung des Schwankungsquadrates \bar{S}^2 denkbar: entweder wird eine mikrophotographische Moment-Aufnahme einer planparallelen, eine große Anzahl Teilchen enthaltenden Schicht hergestellt, auf welcher sodann die Teilchenzahlen n für gleich große nebeneinander liegende Flächenelemente ermittelt werden, oder aber es werden die Zahlen n für ein und dasselbe Volumenelement zu wiederholten Malen bestimmt, wobei photographische oder (bei kleiner Teilchenszahl) subjektive Beobachtung anwendbar ist.

^{***)} Svedberg hat das Verdienst, diese systematischen Zählungen zum ersten Mal als Forschungsmethode praktisch angewendet zu haben. Er ~~bediente sich des~~ ^{verwendete das} subjektiven ~~theoretischen~~ Verfahrens an, indem er mittels sehr verengter Okularblende einen kleinen Teil der im Spalt ultramikroskop zur Untersuchung

*) Literatur: N. Smoluchowski, Phys. ZS. 13, 1069, 1912; ausserdem insbesondere L. Ornstein, Amsterdam. Proc. 17, 793, 1914; F. Zernicke, Dissertation, Groningen 1914.

**) Th. Svedberg, ZS. f. phys. Chem. 73, 547, 1910. Weitere Literatur ~~über~~-zusammenstellung: Th. Svedberg, Jahrb. d. Radioakt. 10, 467, 1913.

... dass die ...

(2)

$$\frac{1}{2} = \frac{1}{2}$$

... dass die ...

... dass die ...

... dass die ...

(3)

$$\frac{1}{2} = \frac{1}{2}$$

... dass die ...

... dass die ...

... dass die ...

... dass die ...

... dass die ...

... dass die ...

... dass die ...

... dass die ...

... dass die ...

... dass die ...

... dass die ...

... dass die ...

... dass die ...

... dass die ...

... dass die ...

... dass die ...

... dass die ...

... dass die ...

... dass die ...

... dass die ...

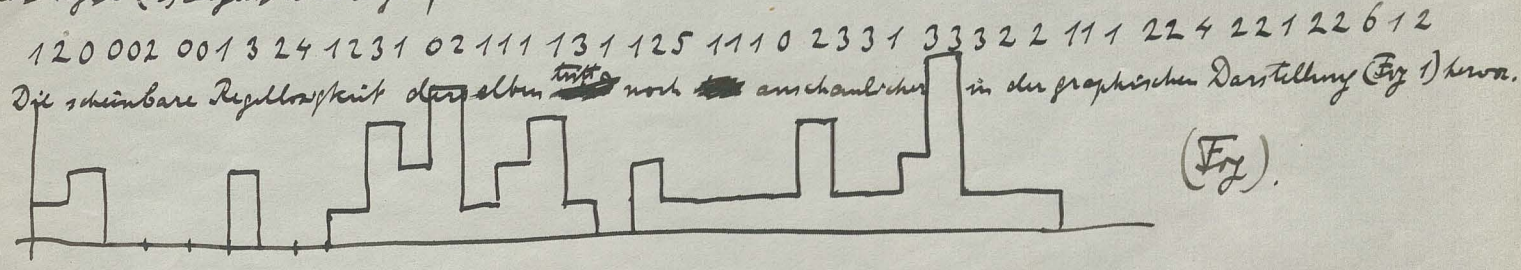
... dass die ...

... dass die ...

... dass die ...

... dass die ...

Kommenden Kolloid-Schicht beobachtet, welche mittels rotierendem Sektor in äquidistanten Zeitpunkten (39 mal pro Minute) durchleuchtet wurde. Die Zahl der jedesmal gerade sichtbaren Teilchen wurde notiert, und so kamen lange Beobachtungsreihen zustande, von denen als charakteristisches Beispiel der Anfang einer auf eine sehr verdünnte Goldlösung bezüglichen angeführt sein möge, welches Svedberg explizite angibt.



Diese Zahlenreihe, welche 518 Beobachtungen umfasst, gibt als Resultat des arithmetischen Mittel: $\bar{x} = 1.55$, des Schwankungsquadrat (welches sich am einfachsten nach der Formel:

$$\bar{s}^2 = \frac{1}{k} \sum_{k=1}^k n^2 - 1 \quad \text{berechnen lässt): } \bar{s}^2 = 0.636. \quad \text{Aus der Formel (2) würde der Wert}$$

$\bar{s}^2 = 0.647$ folgen, welche treffliche Übereinstimmung die Gültigkeit des Doyle'schen Gesetzes beweist.

Dies letztere für stark verdünnte Lösungen anwendbar sein muss, war von vornherein klar, daher kann man Svedberg's Messungen, welche die Gültigkeit von (2) für ~~so~~ große Verdünnung erwiesen, sowie andere Resultate von Ilijin als eine Verifikation der Grundlagen der Molekulartheorie betrachten.

Hervorragendes Interesse bietet aber nun die Frage nach dem bei früherer Konzentration auftretenden Abweichungen, welche die Gesetze der zwischen den Teilchen wirkenden Kräfte erkennen lassen und so ~~ein~~ ^{über} ein Hauptproblem der Kolloidforschung Anschluss geben müssen. (an einer großen Zahl verschiedener Kolloid-Lösungen angestellten) Diesbezüglich geben die Messungen Svedberg's und seiner Mitarbeiter das auffallende Resultat, dass beträchtliche Abweichungen von der Doyle'schen Kompressibilität - und zwar im Sinne einer Verminderung derselben - bereits bei Volumen-Konzentrationen von der Größenordnung $10^5 - 10^6$ auftreten. Es scheint jedoch, dass diese Ergebnisse im Wesentlichen auf eine ~~der~~ subjektiven Beobachtungsmethode anhaftende Fehlerquelle zurückzuführen sind.

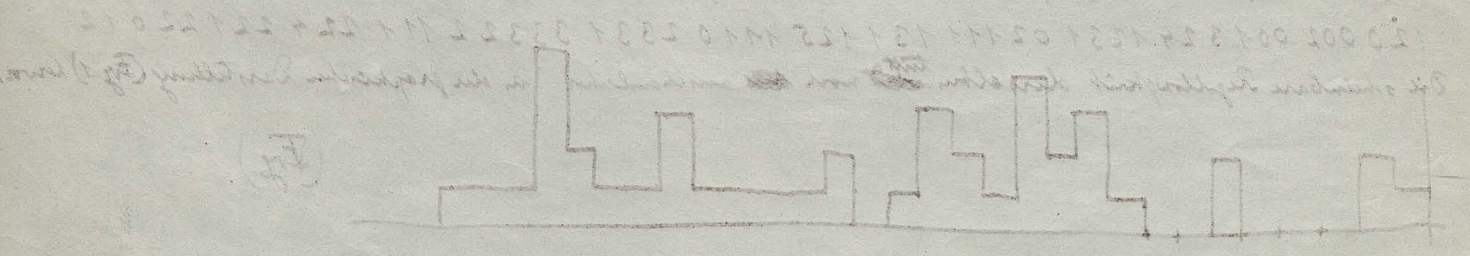
Ein bedenklicher Umstand war es vor allem, dass ~~Westgren~~ bei einer Untersuchung, die ^(Westgren*) nach einer anderen, im nächsten Abschnitt zu besprechenden Methode ~~ausgeführt~~ ^{ausführte} wurde, das Doyle'sche Gesetz ^(in jenem Konzentrationsgebiet ganz gut bestätigt fand). Svedberg suchte zwar mittels gewisser schwer haltbarer Überlegungen beide Resultate zu vereinigen. Da aber unlängst Constantin**) nach beiden Methoden in vollkommen übereinstimmender Weise zu dem Resultate gekommen ist, dass (für eine Summigkeit-Lösung) das Doyle'sche Gesetz bis zu einer Volumen-Konzentration von 100 sehr annähernd gültig bleibt, und dass erst von da an eine

*) A. Westgren, Arkiv f. nat. Svensk. Skad. 9, 5, 30 (1913). Verf. ist von der daselbst ausgesprochenen Vermutung,

~~Constantin~~ dass das ~~obige~~ Gleichverteilungsgesetz der Energie für Kolloide ungelteig sei, später abgekommen, und hat die weiterhin erwähnte Fehlerquelle erkannt.

***) R. Constantin, C. R. 158, 1171, 1341, 1914; J. Perrin, C. R. 158, 1168, 1914.

Zusammenfassend: Die hier beschriebene Methode ist ein wichtiger Bestandteil
 der statistischen Analyse. Sie ermöglicht es, die Verteilung von Daten
 über einen bestimmten Zeitraum hinweg zu verfolgen und zu analysieren.
 Die Ergebnisse dieser Analyse sind in der folgenden Tabelle dargestellt.
 Die Tabelle zeigt die Häufigkeit der Beobachtungen für verschiedene
 Klassen der Variable X .



Die Tabelle zeigt die Häufigkeit der Beobachtungen für verschiedene
 Klassen der Variable X . Die Klassen sind in der folgenden Tabelle
 dargestellt. Die Häufigkeit der Beobachtungen ist in der
 letzten Spalte angegeben.

Die Häufigkeit der Beobachtungen ist in der letzten Spalte
 angegeben. Die Tabelle zeigt die Häufigkeit der Beobachtungen
 für verschiedene Klassen der Variable X . Die Klassen sind in
 der folgenden Tabelle dargestellt.

Die Tabelle zeigt die Häufigkeit der Beobachtungen für
 verschiedene Klassen der Variable X . Die Klassen sind in der
 folgenden Tabelle dargestellt. Die Häufigkeit der Beobachtungen
 ist in der letzten Spalte angegeben.

Die Häufigkeit der Beobachtungen ist in der letzten Spalte
 angegeben. Die Tabelle zeigt die Häufigkeit der Beobachtungen
 für verschiedene Klassen der Variable X . Die Klassen sind in
 der folgenden Tabelle dargestellt.

Die Tabelle zeigt die Häufigkeit der Beobachtungen für
 verschiedene Klassen der Variable X . Die Klassen sind in der
 folgenden Tabelle dargestellt. Die Häufigkeit der Beobachtungen
 ist in der letzten Spalte angegeben.

zunehmende Verminderung der Kompressibilität eintritt, kann man diese Frage wohl als entschieden ansehen. ~~Das~~

Dabei sind Constantin's ~~Zählungen~~ ^{ein zwischen Deckgläschen eines blossen Präparat herstellte mit einer Registrierung} im ~~optischen~~ ^{zuerlänger} ~~zuerlänger~~, da letzteres die objektive, photographische Methode verwendete. Subjektive Beobachtung ~~ist~~ ^{ist} im Feld ultramikroskop scheint dadurch Anlass zu systematischen Fehlern im Sinne einer Verminderung des \bar{V}^2 zu geben, dass in konzentrierten Lösungen das betrachtete Volumen (wegen Zerstreuung des Lichtes) nicht scharf begrenzt ist, und daher das Erkennen eines Teilchens in den Randschichten von dem Grade des Helligkeitskontrastes abhängt.

Terrin schließt aus einer Diskussion der Constantin'schen Messungen, dass die Verminderung der Kompressibilität durch das ^{Eigen} Volumen der Teilchen nicht hinreichend erklärt wird, und dass in der Existenz elektrostatischer ^(von elektrischer Natur) Kräfte ^{auszuschließen} ist, deren Wirkungssphäre mit dem Teilchen ^(0.33 μ) vergleichbar ist. Von einer Weiterführung derartigen Untersuchungen unter verschiedenen Versuchsbedingungen kann man sich noch große Erfolge versprechen.

II.

Wie schon erwähnt wurde, können Aufschlüsse über die obigen Fragen auch mittels einer zweiten Kolloidstatistischen Methode erhalten werden, welche auf der von Einstein und mir theoretisch vorausgesagten und von Terrin eingehend experimentell untersuchten Tetrache*) ^(sedimentierte) beruht, dass Kolloidale Lösungen sich infolge der Schwerkraft in ähnlicher Weise mit variabler Dichte verteilen wie eine Gasatmosphäre. In verdünnten Lösungen, wo das Boyle'sche Gesetz Anwendung findet, gilt also die gewöhnliche barometrische Exponentialformel:

$$n = n_0 e^{-\alpha z} \tag{4}$$

wo der Koeffizient α mit dem scheinbaren Gewicht der Teilchen und der Temperatur mittels der Beziehung $\alpha = \frac{N}{HI} m (1 - \frac{\rho}{\rho'})$ zusammenhängt, ~~und~~ ^{und} auf der experimentellen Bestimmung der Konstanten derselben ~~beruht~~ ^{beruht} das von Terrin und seinen Mitarbeitern am meisten angewandte Verfahren zur Berechnung der Loschmidt-Avoegadro'schen Zahl N , ~~welches~~ ^{welches} dessen Kenntnis durch die bekannten Schriften jenes Autors hinreichend populärisiert ist, so dass ~~es~~ ^{es} an dieser Stelle weitere Bemerkungen überflüssig erscheinen.

Während in den betreffenden Arbeiten die Verteilung der Teilchen mittels subjektiver oder photographischer Abzählung in äquidistanten Horizontalschnitten bestimmt wurde, stellte Constantin in der oben erwähnten Arbeit photographische Aufnahmen einer dünnen vertikalen ^{Lamelle} Schicht her, welche ihm erlaubten, die Abzählung bis in den stark konzentrierten Schichten fortzusetzen, in denen bereits erhebliche Abweichungen vom Exponentialgesetz auftraten. Auf eine

*) A. Einstein, Ann. d. Phys. 19, 371, 1906; N. v. Smoluchowski, Ann. d. Phys. 21, 756, 1906; J. Perrin, ^(C.R.) 146, 967, (1908), 147, 475, 530, 594 (1908); Siehe auch: J. Perrin, Die Brown'sche Bewegung u. s. w. Dresden 1910; Die Sterne, Dresden 1914; Les étoiles, Paris 1913.

1
Zunehmende Verunreinigung der Luft durch die Industrie, die in den letzten Jahren sehr stark zugenommen hat.

Die Luft ist durch die Industrie, die in den letzten Jahren sehr stark zugenommen hat, zunehmend verunreinigt. Die Verunreinigung der Luft durch die Industrie, die in den letzten Jahren sehr stark zugenommen hat, ist ein Problem, das in den letzten Jahren sehr stark zugenommen hat. Die Verunreinigung der Luft durch die Industrie, die in den letzten Jahren sehr stark zugenommen hat, ist ein Problem, das in den letzten Jahren sehr stark zugenommen hat.

II

Die Luft ist durch die Industrie, die in den letzten Jahren sehr stark zugenommen hat, zunehmend verunreinigt. Die Verunreinigung der Luft durch die Industrie, die in den letzten Jahren sehr stark zugenommen hat, ist ein Problem, das in den letzten Jahren sehr stark zugenommen hat.

Die Luft ist durch die Industrie, die in den letzten Jahren sehr stark zugenommen hat, zunehmend verunreinigt. Die Verunreinigung der Luft durch die Industrie, die in den letzten Jahren sehr stark zugenommen hat, ist ein Problem, das in den letzten Jahren sehr stark zugenommen hat.

Formel:

$$\frac{dC}{dt} = -kC$$

Die Luft ist durch die Industrie, die in den letzten Jahren sehr stark zugenommen hat, zunehmend verunreinigt. Die Verunreinigung der Luft durch die Industrie, die in den letzten Jahren sehr stark zugenommen hat, ist ein Problem, das in den letzten Jahren sehr stark zugenommen hat.

Die Luft ist durch die Industrie, die in den letzten Jahren sehr stark zugenommen hat, zunehmend verunreinigt.

Die Luft ist durch die Industrie, die in den letzten Jahren sehr stark zugenommen hat, zunehmend verunreinigt. Die Verunreinigung der Luft durch die Industrie, die in den letzten Jahren sehr stark zugenommen hat, ist ein Problem, das in den letzten Jahren sehr stark zugenommen hat.

einfache, von Termin angegebene Art lassen sich aus denselben die vorher erwähnten Kompressibilitätswerte berechnen.

Wenn man nun diese Methode mit der vorher dargestellten vergleicht, so ist zu bemerken, dass die Beobachtung des Sedimentations-Gleichgewichts der unter mit einem Schlage die Genauigkeit der Zustandsgleichung über ein großes Gebiet kontrollieren lässt, dass aber ihre Anwendung ^{notwendigerweise} ~~keine~~ (eine vollkommene Gleichheit der Kolloidteilchen ~~zur notwendigen Voraussetzung~~) voraussetzt, während dieselbe für die Methode der Konzentrations-Schwankungen ganz gleichgültig ist. Das ist ein für die ~~Er~~ Zuverlässigkeit der letzteren offenbar sehr günstiger Umstand.

III.

Gehen wir nun zu einem weiteren Zweig der Kolloidstatistik über: zu Untersuchungen der zeitlichen Veränderlichkeit der im ersten Abschnitte besprochenen Konzentrationsunterschiede, oder kurz gesagt: der Schwankungsgeschwindigkeit. Von vorn herein ist begreiflich, dass die Größe jener Inhomogenitäten und die Änderungsgeschwindigkeit derselben Erscheinungen bilden, die von einander weitgehend unabhängig sind und von ganz verschiedenen Umständen bedingt werden.

Letztere wird ja offenbar durch die Brownsche Molekularbewegung verursacht und muss daher beispielsweise mit wachsender Viskosität des Lösungsmittels abnehmen, während die ~~Größe~~ von der Kompressibilität abhängende mittlere Größe der Konzentrationschwankungen $\bar{\Delta}^2$ ^{bemerkter} hervorger. nicht berührt wird. Dies hatte Svedberg auch wirklich bei vergleichenden Versuchen, in welchen die Viskosität durch Zusatz von Zucker, Harnstoff u. dergl. erheblich ^{ver.} ~~verändert~~ ~~wird~~.

En einer quantitativen Untersuchung der ganzen Frage ist die Einführung eines Maßes der zeitlichen Veränderlichkeit erforderlich, und zwar wollen wir als solches das mittlere "Änderungsquadrat" $\bar{\Delta}^2$ annehmen. Wir bilden uns also im obigen Falle die Quadrate der Differenzen je zweier aufeinanderfolgender Teilchenzahlen: 1400440141491141410 u. s. w. und ermitteln den Durchschnittswert derselben, was für die ~~ganze~~ ^{ganze} Svedberg'sche Reihe $\bar{\Delta}^2 = 2.26$ ergibt. Für diese Größe habe ich nun unlängst mittels recht unentwickelter ^{*)} ~~Rechen~~ ^{an} ~~Rechnungen~~ Einzelheiten hier einzugehen wohl nicht nötig ist, die theoretische Darstellung:

$\bar{\Delta}^2 = 2 \nu P$ ----- (5)

abgeleitet, wo P eine Größe ist, welche mit dem Diffusionskoeffizienten D der Kolloidsubstanzen, der Länge des zwischen aufeinanderfolgenden Beobachtungen verfließenden Zeitintervalls τ und

*) N. v. Smoluchowski, Wien. Ber. 123, 2381, 1914; Phys. ZS. 16, 321, 1915.

der Gestalt und Größe des betrachteten Volumens zusammenhängt und sich physikalisch verständlich lässt als derjenige Bruchteil einer anfänglich das betrachtete Volumen erfüllenden Kolloidsubstanz, welcher in der Zeit τ in das äussere Medium hinüber diffundieren würde, falls letzteres anfänglich aus reinem Lösungsmittel bestanden hätte.

Hat das optisch abgegrenzte Volumen - wie in Svedberg's Versuchen - die Gestalt einer planparallelen Schicht von der relativ geringen Dichte h , so lässt sich P für Zeiten τ , welche nicht allzu kurz sind, mittels der Näherungsformel berechnen:

$$P = 1 - \frac{1}{\sqrt{\pi}} \left(\beta - \frac{1}{2!} \beta^3 + \frac{1}{3!} \beta^5 - \frac{1}{4!} \beta^7 + \dots \right) \quad \dots \dots (6)$$

Hätte es dagegen die Form eines Zylinders vom Radius a , dessen Mantelflächen von den Teilchen passiert werden, während die Grundflächen un durchdringlich sind, so gilt näherungsweise:

$$P = 1 - \alpha + \alpha^2 - \frac{5}{6} \alpha^3 + \frac{7}{12} \alpha^4 - \frac{7}{20} \alpha^5 + \frac{1}{180} \alpha^6 - \dots \quad \dots \dots (7)$$

Dabei sind β und α Abkürzungen für:

$$\beta = \frac{h}{2\sqrt{Dt}} ; \quad \alpha = \frac{a^2}{4Dt} ;$$

Wird sowohl der Durchtritt der Teilchen durch die Grundflächen wie die Mantelfläche des Zylinders berücksichtigt, so ist das Produkt der Rechen (6) und (7) zu nehmen, für andere Fälle lassen sich analoge Formeln ableiten.

Um nun eine Vergleichung mit Svedberg's Messungen anzustellen, berechnen wir den Diffusionskoeffizienten D (unter Voraussetzung kugelförmiger Teilchen vom Radius R und eines Zähigkeitskoeffizienten μ) nach der Einstein'schen Formel:

$$D = \frac{RT}{N} \frac{1}{6\pi\mu R} \quad \dots \dots (8)$$

Setzt man herein die von Svedberg angegebenen Dimensionen der Goldteilchen ein, so ergibt sich $D = 1.04 \cdot 10^{-7}$ und hiermit berechnet sich mit Hilfe von (5) und (6) der theoretische Wert des Änderungsquadrates $\bar{\Delta}^2 = 2.60$. Die Übereinstimmung mit dem beobachteten Wert 2.25 ist in Anbetracht der nur beschränkten Kenntnis der zur Rechnung verwendeten Größen wohl ganz befriedigend; übrigens mag der Unterschied auch davon herrühren, dass wie Svedberg bemerkte, die Brown'sche Bewegung in jenen mittels Keimflüssigkeit hergestellten Solen etwas verlangsamt ist, was wahrscheinlich von unregelmäßiger Gestalt der Goldteilchen herrührt.

Die Svedberg'sche Zahlenreihe lässt sich übrigens auch noch weiter ausweitern, indem man ~~Abstände~~ die Differenzen einer jeden Zahl mit der zweitnächsten, dritt nächsten u. s. w. bildet und so die Werte des Veränderlichkeitsquadrates für die doppelte, dreifache u. s. v. Intervallzeit bestimmt:

$t =$	1τ	2τ	3τ	4τ	5τ	6τ
$\bar{\Delta}^2 =$	2.26	2.62	2.59	2.80	2.95	3.00

Die theoretisch vorausgesetzte Abhängigkeit von der Intervalldauer wird also bestätigt, indem sich diese Zahlen dem gemäß (6) für sehr lange Zeit gültigen Grenzwert: $\lim \bar{\Delta}^2 = 2\nu = 3.10$ nähern.

Weiteres Zahlenmaterial, welches sich analog wie jene Svedberg'sche Reihe zur Kontrolle unserer Theorie verwenden ließe, liegt bisher nicht vor. Nur teilte mir A. Westgren unlängst mit, dass er eine experimentelle Verifikation mit günstigem Erfolge ausgeführt habe.

Die praktische Anwendbarkeit derartiger Untersuchungen liegt wohl hauptsächlich darin, dass sie erlauben, umgekehrt aus dem beobachteten $\bar{\Delta}^2$ den Koeffizienten β und aus demselben den Wert des D zu berechnen. Eine derartige, ~~mit~~ durch Registrierung der momentan sichtbaren Teilchen erhaltene Zahlenreihe bildet also ein präzises und ganz überraschend einfaches Mittel, einerseits die osmotische Kompressibilität, andererseits den sowohl für Diffusion wie für Brown'sche Bewegung maßgebenden Koeffizienten der Kolloidteilchen zu bestimmen.

Zuletzt lässt sich natürlich auch durch direkte Beobachtung der Brown'schen Bewegung ermitteln, mit welcher er durch die bekannte Gleichung zusammenhängt:

$$\bar{\Delta x}^2 = 2Dt \tag{9}$$

doch dürfte obige Methode bequemer und genauer sein als die direkte Messung der Teilchenverschiebungen.

Direkte Messungen der Diffusion an grob dispergen Selen anszuführen ist sonst bisher nur A. Westgren gelungen, während Drillouin's Methode zwar ein interessantes Mittel zur qualitativen Demonstration bildet, aber in quantitativer Hinsicht leider nicht brauchbar ist. *)

IV.

Vom theoretischen Standpunkt aus verdienen die in Rede stehenden Erscheinungen außerdem noch besondere Beachtung wegen der sehr interessanten Einblicke, die sie in den Mechanismus irreversibler Erscheinungen gewähren, und dies wollen wir mit Beziehung auf die Kolloidphysik noch etwas näher erläutern.

Schon aus dem Vorhergehenden ist klar, welche enger innerer Zusammenhang zwischen drei zusammengehörigen Phänomenen besteht: einerseits der Diffusion, andererseits der

*) A. Westgren, Z. S. f. phys. Chem. 89, 63, 1914; L. Drillouin, Ann. chim. phys. 27, 412, 1912; dass die Berechnung Drillouin's mangelhaft ist und überdies durch gewisse unkontrollierbare Umstände illusorisch gemacht wird, habe ich näher ausgeführt in: Wien. Ber. 129, 263, 1915.

Drorschen Molekularbewegung und der Konzentrationsveränderlichkeit. Letztere beiden Erscheinungen unterscheiden sich von einander eigentlich nur hinsichtlich des Standpunktes, indem bei der Drorschen Bewegung die Ortsveränderungen ~~ein~~^{eines} in verschiedenen Teilchen verfolgt werden, während im Obigen die in einem ruhenden Volumenteile der Lösung vor sich gehenden Ein- und Austrittsereignisse der Teilchen ins Auge gefasst werden. Beide Erscheinungen bilden — jede in etwas anderem Sinne — eine mikroskopisch kinematographische Analyse des Vorganges, welcher ~~sonst~~ sonst als Diffusion bekannt ist.

Nun scheint aber ein Widerspruch darin zu liegen, dass die Diffusion als Grundtypus eines irreversiblen Vorganges gilt, während obige Zahlenänderungen sich offenbar reversibel verhalten [oder vielmehr ~~ein~~^{ein} unregelmäßig ~~oskillatorischen Charakter besitzen~~ ^{oskillatorischen Charakter besitzen}].

Um diese Verhältnisse besser zu überblicken, habe ich ^(a.o.O.) eine detaillierte Statistik der in Svedberg's Zahlenreihe enthaltenen ~~517~~⁵¹⁷ Gruppen je zweier aufeinander folgender Zahlen (n, m) entworfen und andererseits berechnet ich, wie häufig, der Wahrscheinlichkeitstheorie zufolge, unter den in jenen Versuchen gegebenen Umständen eine gewisse Teilchenzahl n von einer gewissen anderen Zahl m gefolgt, aufzutreten sollte. ~~(Tabelle)~~

Häufigkeit ~~der~~ der verschiedenen Zahlengruppen (n, m):

$m =$	0	1	2	3	4	5	6	7	
$n = 0$	45	35	19	7	5	—	—	—	exp.
	35.3	39.7	22.3	8.3	2.4	0.5	0.1	—	ber.
1	40	55	40	17	10	1	—	1	exp.
	39.7	59.6	42.0	18.9	6.2	1.6	0.3	0.1	ber.
2	19	42	35	24	6	2	1	—	exp.
	22.3	42.0	36.3	19.5	7.5	2.2	0.5	—	ber.
3	6	23	22	13	5	—	—	—	exp.
	8.3	18.9	19.5	12.5	5.6	1.9	0.5	—	ber.
4	2	8	10	4	6	2	—	—	exp.
	2.4	6.2	7.5	5.6	2.9	1.1	0.3	—	ber.
5	—	1	2	2	—	—	—	—	exp.
	0.5	1.6	2.2	1.9	1.1	0.5	0.2	—	ber.

Die aus dieser Tabelle ersichtliche Übereinstimmung des experimentellen und theoretischen Zahlenbildes ist als Kontrolle eines Wahrscheinlichkeitsgesetzes gewiss ganz vorzüglich zu nennen.

Das Charakteristische dieser Zahlenreihe liegt darin, dass eine dem Mittelwert nahe Teilchenzahl ^{$n=1$} 1 oder ^{$n=2$} 2 sich zu wiederholen, eventuell zu vermehren oder zu vermindern pflegt, dass dagegen auf eine Zahl ^{$n=4$} 4 oder ^{$n=5$} 5 im nächsten Zeitintervall fast ausnahmslos eine kleinere Zahl ^{m} folgt. ~~Stimmt~~ ^{Stimmt} also die Anfangskonzentration ungefähr mit der normalen (entsprechend der umgebenden Flüssigkeit) überein, so treten positive oder negative Änderungen

gleich wahrscheinlich ~~ist~~ ein. Ist sie dagegen erheblich größer als die normale, so tritt anfangs fast sicher ein teilweiser Ausgleich derselben ein, was eben für die irreversible Diffusion bescheidend ist. Trotzdem muss natürlich im Laufe langer Zeiträume jede Zahlengruppe (n m) ebenso häufig auftreten wie die umgekehrte Gruppe (m n), so dass die schwerer von Zoschmidt geforderte prinzipielle Umkehrbarkeit aller molekularen Vorgänge hier verwirklicht ist.

Es kommt also offenbar Alles auf die Zeitdauer an, welche durchschnittlich zwischen wiederholtem Auftreten einer und derselben Teilchenzahl zu verfließen pflegt. Auch hierfür lässt sich eine theoretische Formel ^{*)} entwickeln, deren Resultate, verglichen mit den experimentell gefundenen durchschnittlichen Wiederkehrzeiten, in der nachfolgenden Tabelle zusammengestellt sind (wobei die Intervalldauer 1/39 Sec. als Einheit angenommen ist).

Durchschnittliche Wiederkehrzeiten Θ .

n =	0	1	2	3	4
Θ exp.	4.48	3.09	3.98	7.13	16.0
Θ ber.	5.54	3.16	4.05	8.09	20.9

Es wiederholt sich also 20. die Zahl 2 durchschnittlich nach je 4 Intervallen. Die größte von Svedberg in seiner Reihe beobachtete Zahl betrug 7 und sie erschien nur einmal. Tatsächlich berechnet man aus der für große n geltigen Näherungsformel

$$\Theta = \tau e^{\nu} \nu^{-n} n! \quad \text{--- (10)}$$

dass ihre ~~Wiederkehrzeit~~ Wiederkehrzeit 1105 Intervalle beträgt.

Wie rasch nun diese Größe wächst, wenn es sich um sehr abnormale Zustände handelt, sehen wir, wenn wir sie beispielsweise für $n = 17$ berechnen. Es ergibt sich: $\Theta = 10^{13} \tau$, also ungefähr 500.000 Jahre, falls die Messungen in dem von Svedberg gewählten Tempo fortgesetzt würden. Falls man also von einer solchen Konzentration als ~~ausgangs~~ Ausgangszustand ausgeht, ~~und~~ ^{und} man eine Rückkehr derselben nie erleben. Das erklärt uns wohl vollkommen, wieso eine und dieselbe Erscheinung uns einmal als reversible, der Brown'schen Bewegung analoge Konzentrationschwankung erscheint, wenn nämlich der Ausgangszustand sehr wenig vom normalen entfernt ist, das andere Mal als scheinbar irreversible Diffusion, wenn es sich ^{nämlich} um relativ abnormale Ausgangszustände handelt.

Noch viel krasser treten übrigens diese quantitativen Unterschiede hervor, wenn es sich um Fälle handelt, wo die Normalszahl ν eine größere ist; dann ist der Bereich der beobachtbaren Reversibilität noch ^{viel} enger umgrenzt, und zwar so dass die Größenordnung desselben mit einer für die Praxis vielleicht genügen den Annäherung etwa durch den 2-10 fachen Bereich der

*) ~~z. B.~~ a. a. O. ausserdem: N. v. Smoluchowski, Wien. Ber. 124, 339, 1915.

Die ...
 ...
 ...
 ...
 ...
 ...

...
 ...
 ...
 ...
 ...

...
 ...

n	0	1	2	3	4
$\theta_{exp.}$	4.78	2.09	2.98	7.13	10.01
$\theta_{theor.}$	3.24	2.10	4.02	8.09	20.0

...
 ...
 ...

$\theta = 5.2 \times 10^{-4} \text{ rad}$

...
 ...

...
 ...
 ...

...
 ...
 ...

...
 ...

...
 ...

...
 ...

...
 ...
 ...

mittleren Konzentrationschwankung $\sqrt{\delta^2}$ definiert wird ~~ist~~.

~~Es ist wohl kaum nötig~~ Schließlich sei noch bemerkt, dass diese Erwägungen offenbar auch die Gültigkeitsgrenzen der üblichen Formulierungen des Entropiesatzes bestimmen, mit welchen ja die hier behandelten Konzentrationschwankungen ~~(-ebenso wie die Brown'sche Molekularbewegung-)~~ in direktem Widerspruch stehen. Eine einfache Rechnung zeigt uns, dass ~~in~~ einer Ansammlung von n Teilchen in einem Volumen, auf welches normalerweise ν Teilchen entfallen, eine ~~Arbeit~~ Arbeitsleistung seitens des osmotischen Druckes, im Betrage von $\nu \frac{H T}{N} \log \frac{n}{\nu}$, entspricht. Wenn wir also in jenem Svedberg'schen Versuch die Zahl 7 erscheinen sehen, so bedeutet dies, dass eine Arbeit von ca. 10^{13} Erg. „von selbst“ auf Kosten der Umgebungswärme geleistet wurde.

Trotzdem aber besteht der Satz von der Unmöglichkeit des perpetuum mobile - in des Wortes eigentlicher Bedeutung als dauernd wirkender automatischer Maschine - vollkommen zu Recht, da jene Schwankungen nur vom molekularen Zufall abhängen und sich auf keine Weise in eine regelmäßige Arbeitsquelle zusammenfassen lassen. Diese Anschauungen habe ich bei anderer Gelegenheit ^{*)} eingehender ~~behandelt~~ dargestellt; da die obigen Erscheinungen aber das erste Beispiel bilden, an welchem ich sowohl theoretisch wie experimentell den allmählichen Übergang zwischen dem Bereich der mikroskopischen Molekularkinetik und der Thermodynamik in ganz exakter Weise verfolgen lässt, wollte ich nicht unterlassen, auch an dieser Stelle darauf hinzuweisen, dass beide Gesichtspunkte ~~zu~~ widerspruchlos vereinbar ~~sind~~ sind, sofern man das heute schon genügend verlegte Dogma von der ~~unbegrenzten~~ ^{unbegrenzten} Gültigkeit des Entropiesatzes fallen lässt.

Wenn man schließlich die Art des zugrunde liegenden experimentellen Materials und die Trognote der daraus entspringenden Schlüsse ~~zu~~ noch einmal überblickt, wird man wohl ~~zu~~ ein Gefühl der Verwunderung nicht unterdrücken können, wie viel Weisheit in einer scheinbar ganz regellosen Zahlenreihe nach Art der Svedberg'schen (oder in einer Momentaufnahme des Niedersatzes einer kolloidalen Lösung) enthalten ist.

*) M. v. Smoluchowski, Phys. Z. N. 13, 1069, 1912; Göttinger Vorträge i. Kinet. Theorie, Tübingen 1914 p. 89.

Adresse des Verfassers: Prof. Dr. M. v. Smoluchowski, Krakau, Studencka 27

mittler Temperaturbestimmung 10 Minuten

Ablesung an Hand Barometer, dann ohne

Ablesung an Hand Barometer, dann ohne

(-dies ist die Barometer-Ablesung)

mit welcher die Barometer-Ablesung in diesem

die mittlere Barometer-Ablesung vor

auf welche die mittlere Barometer-Ablesung

Barometer-Ablesung $\frac{H}{N}$ $\frac{H}{N}$ $\frac{H}{N}$

die mittlere Barometer-Ablesung an Hand

die mittlere Barometer-Ablesung an Hand

Peter H. H. 2

die mittlere Barometer-Ablesung an Hand

die mittlere Barometer-Ablesung an Hand

die mittlere Barometer-Ablesung an Hand

die mittlere Barometer-Ablesung an Hand

die mittlere Barometer-Ablesung an Hand

die mittlere Barometer-Ablesung an Hand

die mittlere Barometer-Ablesung an Hand

die mittlere Barometer-Ablesung an Hand

die mittlere Barometer-Ablesung an Hand

die mittlere Barometer-Ablesung an Hand

die mittlere Barometer-Ablesung an Hand

die mittlere Barometer-Ablesung an Hand

die mittlere Barometer-Ablesung an Hand

die mittlere Barometer-Ablesung an Hand

die mittlere Barometer-Ablesung an Hand

die mittlere Barometer-Ablesung an Hand

(Theoretical) in der Natur ...

... der Natur ...

... der Natur ...

... der Natur ...

... der Natur ...

... der Natur ...

... der Natur ...

... der Natur ...

... der Natur ...

... der Natur ...

... der Natur ...

... der Natur ...

... der Natur ...

... der Natur ...

... der Natur ...

... der Natur ...

... der Natur ...

... der Natur ...

... der Natur ...

... der Natur ...

... der Natur ...

... der Natur ...

... der Natur ...

... der Natur ...

... der Natur ...

... der Natur ...

... der Natur ...

... der Natur ...

$\frac{1}{2} = \sqrt{\frac{1}{4}}$

... der Natur ...

... der Natur ...

$\sqrt{\frac{1}{4}} = \frac{1}{2}$

... der Natur ...

... der Natur ...

... der Natur ...

... der Natur ...

... der Natur ...

$\sqrt{\frac{1}{4}} = \frac{1}{2}$

... der Natur ...

... der Natur ...

... der Natur ...

$\frac{1}{2} = \sqrt{\frac{1}{4}}$

... der Natur ...

... der Natur ...

... der Natur ...

... der Natur ...

$$e^{-\frac{N}{HT} \chi(\xi)} d\xi$$

$$\int_0^V (V-v) dV = \frac{(V-v_0)^2}{2} \left(\frac{\partial \chi}{\partial v} \right)$$

$$= \frac{\delta^2}{2} V_0 \left(\frac{\partial \chi}{\partial v} \right)$$

$$\frac{V-v_0}{V_0} = \delta$$

$$\rho = \frac{(2)HT}{V}$$

$$V \frac{\partial \chi}{\partial v} = \rho$$

$$\delta^2 = \frac{HT}{N} \frac{1}{V} \frac{\partial \chi}{\partial v} = \frac{1}{(2)N} = \frac{1}{V}$$

$$\int e^{-\alpha \delta^2} d\delta^2 = -\frac{1}{2\alpha}$$

$$\int \delta^2 e^{-\alpha \delta^2} d\delta^2 = -\frac{1}{2} \sqrt{\frac{\pi}{\alpha}}$$

$$\left. \begin{aligned} \delta^2 &= \frac{1}{2\alpha} = \frac{HT}{N} \frac{\beta}{V_0} \\ \frac{HT}{N} &= \frac{RT_0}{V} \end{aligned} \right\}$$

$$\frac{RT_0 m v}{V_0 v} = \frac{RT_0}{V} \beta$$

$\rho =$ Dichte der Einheiten im Volumen des 1cm³ Einheitsvolumens

~~folgende~~ ~~Nennwert~~
 wird die Zahl v der ~~vorhandenen~~ vorhandenen Teilchen
 kleiner sein als ~~das~~ die Durchschnittswert v welcher bei gleichmäßiger Verteilung (normaler Verteilung) ~~erhalten~~ erhalten wird, so dass
 die Dichte $\delta = \frac{n-v}{V}$ ~~in~~ in verschiedenen Teilen ungleichmäßig ~~positive~~ positive und negative Werte ~~annimmt~~ annimmt
 die Verdichtung

~~folgende~~ ~~Nennwert~~
 wird die Zahl v der ~~vorhandenen~~ vorhandenen Teilchen
 kleiner sein als ~~das~~ die Durchschnittswert v welcher bei gleichmäßiger Verteilung (normaler Verteilung) ~~erhalten~~ erhalten wird, so dass
 die Dichte $\delta = \frac{n-v}{V}$ ~~in~~ in verschiedenen Teilen ungleichmäßig ~~positive~~ positive und negative Werte ~~annimmt~~ annimmt
 die Verdichtung

* Joule in ein γ in Geq. Unit.

181

$$\frac{100}{20} \cdot 55.2 = 550$$

$$36.12 = 482$$

[Faint, mostly illegible handwritten text, likely bleed-through from the reverse side of the page. Some words like "Zylinder" and "Körper" are visible.]

[Handwritten notes in German:]
Zylinder von Radius a
die Summation ist mit z gleich z wachsend um:
Rautenfläche die Teil z beschreibt z können z sein

$$P_2 = 1 - \alpha + \alpha^2 - \frac{5}{6} \alpha^3 + \frac{7}{12} \alpha^4 - \frac{7}{20} \alpha^5 + \frac{1}{180} \alpha^6$$
$$w \quad \alpha = \frac{z}{4Dt}$$

[Faint handwritten text at the bottom of the page, possibly a conclusion or further notes.]

100
 20
 55
 100

...
 ...
 ...

...
 ...
 ...

...
 ...
 ...

...
 ...
 ...

...
 ...
 ...

...
 ...
 ...

...
 ...
 ...

...
 ...
 ...

$$\alpha = \frac{m(1 - \frac{p}{i}) g N}{H T}$$

$$D = \frac{1}{2} P$$

$$D = 1 - \frac{1}{2} + \frac{1}{4} - \frac{1}{8} + \frac{1}{16} - \frac{1}{32} + \frac{1}{64} - \frac{1}{128} + \dots$$

$$D = \frac{1}{2} \frac{T}{N}$$

Die obere Exponentialkurve lässt sich weiter ausmitten, indem man 20% der Differenz immer jedes
 Mal mit der weit niedrigeren, unteren Kurve bildet. So erhält man die Werte der Veränderlichkeitsquadrate
 für das doppelte, dreifache usw. Intervallzeit:

$t =$	10	20	30	40	50	60
Δ^2	2.25	2.62	2.59	2.80	2.95	3.00

Die Annahme, dass für sehr lange Zeit gelten kann $\Delta^2 = 3.10$ nähert sich

Die theoretische Voraussetzung Abhängigkeit von der Zeit wird also ~~in~~ bestätigt, indem

~~...~~

~~...~~

~~...~~

Direkte Messungen der Diffusion sind ~~...~~ an gut temperierten Folien auszuführen, ist sonst bisher nur A. W. Wilson
 gelungen, während Millonni's Methode war ein interessantes Mittel zur ~~...~~ Methode aber in
 Gegenwart der ~~...~~ Methode ist

*) Wilson

Der ~~...~~ hängt der Theorie ~~...~~ Die Annahme ~~...~~ ist ~~...~~

~~...~~

~~...~~

~~...~~

~~...~~

~~...~~

~~...~~

~~...~~

~~...~~

~~...~~

$$\frac{1}{\sqrt{b}} - \frac{2x\sqrt{2}}{\sqrt{b}} + 2\sqrt{b}$$

~~4 + 2x~~

25

$$1 - \frac{1}{4} + \frac{3}{4}(x^2+y^2) + \frac{3}{8}x^2 - \frac{15}{8}(x^2+y^2) \left\{ + \frac{25}{32}(x^4+y^4+6x^2y^2) \right.$$

$$+ \frac{25}{32}x^2 - \frac{15}{8}x^2 + \frac{3}{2}(x^4+x^2y^2) + \frac{25}{32}y^2$$

$$+ \frac{25}{32}x^2 + \frac{3}{2}x^2 - \frac{5}{2}(x^4+3x^2y^2)$$

$$+ 2 + \frac{9}{8} - \frac{1}{2}(x^2+y^2) - \frac{15}{8}x^2 + \frac{3}{4}(x^2+y^2) \left\{ - \frac{80}{32}(x^4+y^4+6x^2y^2) \right.$$

73

$$= 3 + \frac{9}{2} + \frac{5x^2+y^2}{4} + \frac{9x^2}{8} - \frac{15x^2+15y^2}{8} + \frac{25}{32}(25x^4+y^4+150x^2y^2) + 48x^4 + 48x^2y^2 - 40x^4 - 120$$

$$\frac{3}{2} \left\{ 6 + \frac{9}{2} + \frac{10x^2+y^2+2^2}{4} + \frac{9x^2}{8} - \frac{9}{8}(10x^2+9(y^2+2^2)) + \frac{66x^4+25(y^4+2^4)+78x^2(y^2+2^2)}{32} \right\}$$

$$14x^2 + 5(y^2+2^2)$$

$$3 + \frac{9}{2} + \frac{10x^2+y^2+2^2}{4} + \frac{9x^2}{8} - \frac{9}{8} \left[\begin{array}{l} 15(x^2+y^2) \\ -16x^2 \\ -6(x^2+y^2) \end{array} \right] + \frac{25(x^4+y^4+6x^2y^2) + 48(x^4+y^4) - 80(x^4+3x^2y^2)}{32}$$

$$6 + \frac{9}{2} + \frac{2x^2+y^2+2^2}{4} + \frac{9x^2}{8} + \frac{9}{8}(14x^2-9(y^2+2^2)) + \frac{-14x^4+25(y^4+x^4)-42x^2(y^2+2^2)}{32}$$

$$\frac{6x^2+5(y^2+2^2)}{4}$$

$$x^4 \left[\frac{1}{4} + \frac{7}{4} - \frac{7}{16} \right] = \frac{32-7}{16} = \frac{25}{16} \cdot \frac{3}{2}$$

$$y^4 \left[\frac{2}{4} - \frac{9}{4} \right] = -\frac{7}{4} \cdot \frac{3}{2}$$

$$(y^2+2^2) \left[\frac{1}{4} - \frac{9}{8} + \frac{25}{32} \right] = \frac{8-36+25}{32} = -\frac{3}{32} \cdot \frac{3}{2}$$

$$x^2(y^2+2^2) \left[\frac{2}{4} + \frac{14}{8} - \frac{21}{16} \right] = \frac{8+10-21}{16} = -\frac{3}{16} \cdot \frac{3}{2} = -\frac{9}{32}$$

$$\frac{1}{2}x^2 \left\{ \frac{c_2}{2} + \frac{16}{2x^4 + y^4 + 2^2 + 6xy^2 + 6x^2y} + \frac{1}{2}(2x^2 - y^2 - 2y) - x^4 - 3x^2y + 9x^2 + y^4 + 2^2 \right\}$$

$$+ \frac{2x^4 + y^4 + 2^2 - 2x^2y + 2y}{4} - 2x^4 - 3x^2y + 2y + \frac{1}{4}(2x^2 + y^2) + \frac{1}{8}(2x^4 + y^4 + 6xy^2 + 2^2)$$

$$\frac{-(2x^2 + y^2)^2}{2} + \frac{2}{2}(2x^4 + y^4 + 2^2 - 6xy^2 + 2^2)$$

$$\frac{x^4 + y^4 + 2^2}{2} + x^2y + x^2y + y^2$$

$$+ \frac{8}{x^4} + \frac{1}{16} + \frac{3}{8} - 1$$

$$+ \frac{1}{2} + \frac{1}{4} - \frac{1}{2}$$

$$- 3 + \frac{2}{1}$$

$$+ 2 + 1 + 1$$

$$- 2y^2$$

$$\frac{2}{3}y^2$$

$$1 - \frac{1}{8} + 1 = -\frac{1}{8} + \frac{2}{2} = -\frac{1}{8} + 1 = \frac{7}{8}$$

$$2 + \frac{1}{4} - \frac{1}{2} = \frac{16}{35}$$

$$- \frac{1}{2}$$

$$-\frac{3}{2} - \frac{8}{2} = -\frac{15}{2}$$

$$\frac{1}{b_0} \left[c_2 - c_1 c_0 \frac{b_1 + d_1}{b_0^2} - c_0 \frac{b_1 + d_1}{b_0} - \frac{c_0 b_1 d_1}{b_0^2} + \frac{c_0 (b_1 + d_1)^2}{b_0^2} \right]$$

$$+ \frac{3}{2} \left[-\frac{1}{4}(x-y)^2 + \frac{1}{8}(x-y)^4 \right] + 3 \left[-\frac{1}{4}(2x^2 + y^2 + 2y) + \frac{1}{8}(2x^2 + y^2 + 6xy + 2y^2) \right]$$

Handwritten notes and calculations, including terms like $\frac{1}{b_0}$, c_2 , $c_1 c_0$, $b_1 + d_1$, and b_0^2 . There are several lines of scribbled-out text and some vertical lines separating sections of work.

Handwritten text at the top of the page, possibly a title or header, which is mostly illegible due to fading and bleed-through.

$$\frac{1.1 \cdot 10^{-6}}{\cancel{0.01}} \cdot \frac{(0.01)^2}{4 \cdot 2^2} = \frac{1.1}{4} \cdot 10^{-9} = \frac{1.1}{4} \cdot \frac{10^{-10}}{a^2} = 1$$

$$a = \sqrt{\frac{1.1}{4}} \cdot 10^{-5}$$

$$= \sqrt{2.75} \cdot 10^{-5}$$

$$1.6 \cdot 10^{-5}$$

$$2a = 3.2 \cdot 10^{-5} = 300 \mu\text{m}$$

Theoretische Bemerkungen über die Viskosität der Kolloide.

In Würdigung der Bedeutung welche die ~~Viskosität~~ ^{anwendung} als ~~z~~ Kennzeichen ^{sonst schwer qualitativ ergründliche Vergleich} ~~Erkennung~~ Kolloidaler Lösungen besitzen, ist in den letzten Jahren eine ganze Reihe interessanter Untersuchungen durchgeführt worden, das experimentelle Studium der Viskosität Kolloidaler Lösungen von einer Reihe hervorragender Forscher in Angriff genommen worden. ^{Es scheint mir jedoch dass in den} ~~Zahlen~~ ^{theoretischen} Überlegungen, welche meist an die ~~visköse~~ ^{aufzutreten und daher dürfte} ~~Arbeit~~ ^{Verständnis} ~~Sturms~~ ^{anknüpfen}, ~~steht jedoch häufig~~ ^{ein} gewisse Missverständnisse ~~vor~~, ^(durch die hohe V. Th. voraussetzende) welche die ~~ein~~ ^{mit} ~~einander~~ ^{nicht} ~~zusammenfassung~~ ^{unverändert} der ~~Resultate~~ ^{Resultate} ~~angeführt~~ ^{angeführt} ~~welche die~~ ^{welche die} ~~bedeutendsten~~ ^{bedeutendsten} ~~Viskositätstheorie~~ ^{visköse} ~~voraussetzen~~ ^{voraussetzen} lässt.

Das ~~einzig~~ ^{Erfolge der} ~~erzielte~~ ^{Ergebnis} ~~Ergebnis~~ ^{das} ~~das~~ ^{hierher} ~~auf~~ ^{abgeleitet} ~~diesem~~ ^{ist} ~~Ergebnis~~ ^{die} ~~abgeleitet~~ ^{Sturms} ~~wurde~~ ^{über}

$$\eta = \eta_0 \left[1 + \frac{2}{5} \phi \right]$$

welche sich die Viskosität eines Suspensions oder einer suspendierten Emulsion ^{(das Visk. des Lösungsmittels und} ~~abhängt~~ ^{abhängt} ~~von dem~~ ^{von dem} ~~relativen~~ ^{relativen} ~~Volumen~~ ^{Volumen} ~~des~~ ^{des} ~~dispersen~~ ^{dispersen} ~~Phasen~~ ^{Phasen} ~~ohne~~ ^{ohne} ~~Bezug~~ ^{Bezug} ~~auf~~ ^{auf} ~~die~~ ^{die} ~~Form~~ ^{Form} ~~des~~ ^{des} ~~Teilchens~~ ^{Teilchens} ~~abhängt~~ ^{abhängt}, ~~voransetzt~~ ^{voransetzt} ~~dass~~ ^{dass} ~~die~~ ^{die} ~~Lösung~~ ^{Lösung} ~~eine~~ ^{eine} ~~verdünnte~~ ^{verdünnte} ~~ist~~ ^{ist} ~~und~~ ^{und} ~~dass~~ ^{dass} ~~die~~ ^{die} ~~Teilchen~~ ^{Teilchen} ~~als~~ ^{als} ~~starre~~ ^{starre} ~~voransetzte~~ ^{voransetzte} ~~Teilchen~~ ^{Teilchen} ~~Verhalten~~ ^{Verhalten} ~~bestehen~~ ^{bestehen}. ~~Unbekanntlich~~ ^{Unbekanntlich} ~~hatte~~ ^{hatte} ~~Sturms~~ ^{Sturms} ~~anfänglich~~ ^{anfänglich} ~~infolge~~ ^{infolge} ~~einer~~ ^{einer} ~~Rechnung~~ ^{Rechnung} ~~den~~ ^{den} ~~Faktor~~ ^{Faktor} ~~von~~ ^{von} ~~ϕ~~ ^{ϕ} ~~als~~ ^{als} ~~Ein~~ ^{Ein} ~~angeführt~~ ^{angeführt}; ~~in~~ ⁱⁿ ~~der~~ ^{der} ~~obigen~~ ^{obigen} ~~Formel~~ ^{Formel} ~~stellt~~ ^{stellt} ~~aber~~ ^{aber} ~~jenes~~ ^{jenes} ~~Phänomen~~ ^{Phänomen} ~~unter~~ ^{unter} ~~der~~ ^{der} ~~Zit~~ ^{Zit} ~~des~~ ^{des} ~~einzig~~ ^{einzig} ~~erzielte~~ ^{erzielte} ~~Resultat~~ ^{Resultat} ~~auf~~ ^{auf} ~~diesem~~ ^{diesem} ~~Ergebnis~~ ^{Ergebnis} ~~beruht~~ ^{beruht}.

Es hat zwar Hatschek später eine Formel $\eta = \eta_0 \left[1 + \frac{2}{5} \phi \right]$ abgeleitet doch ist die betreffende Berechnung unrichtig und daher diese Formel als einer rationalen Grundlage unbrauchbar ~~anzusehen~~.

Koll. Z. 7, 301, 1910

^{Die} ~~Sturms~~ ^{Sturms} ~~Rechnung~~ ^{Rechnung} ~~des~~ ^{des} ~~Stokes~~ ^{Stokes} ~~über~~ ^{über} ~~die~~ ^{die} ~~Viskosität~~ ^{Viskosität} ~~von~~ ^{von} ~~einigen~~ ^{einigen} ~~Flüssigkeiten~~ ^{Flüssigkeiten} ~~beruht~~ ^{beruht} ~~auf~~ ^{auf} ~~der~~ ^{der} ~~Annahme~~ ^{Annahme} ~~dass~~ ^{dass} ~~die~~ ^{die} ~~Teilchen~~ ^{Teilchen} ~~an~~ ^{an} ~~der~~ ^{der} ~~Translations~~ ^{Translations} ~~und~~ ^{und} ~~Rotations~~ ^{Rotations} ~~Bewegung~~ ^{Bewegung} ~~der~~ ^{der} ~~Flüssigkeit~~ ^{Flüssigkeit} ~~Elemente~~ ^{Elemente} ~~unabhängig~~ ^{unabhängig} ~~verhalten~~ ^{verhalten} ~~und~~ ^{und} ~~nur~~ ^{und} ~~der~~ ⁱⁿ ~~Scherung~~ ^{dieser} ~~deformation~~ ^{Ermittlung} ~~durch~~ ^{über} ~~ein~~ ^{ein} ~~großes~~ ^{großes} ~~Widerstand~~ ^{Widerstand} ~~entgegensteht~~ ^{entgegensteht}, ~~welche~~ ^{welche} ~~die~~ ^{die} ~~Sturms~~ ^{Sturms} ~~Rechnung~~ ^{Rechnung} ~~beruht~~ ^{beruht}:

Es scheint mir doch wenn die Ellipsoidformel jener Formel meist sehr überschätzt.

Von Allen gilt mir jedoch nicht für Teilchen von anderer als spherischer Gestalt. ~~Die~~ ^{Die} ~~Formel~~ ^{Formel} ~~von~~ ^{von} ~~Sturms~~ ^{Sturms} ~~für~~ ^{für} ~~ellipsoide~~ ^{ellipsoide} ~~Teilchen~~ ^{Teilchen} ~~oder~~ ^{oder} ~~polyedrische~~ ^{polyedrische} ~~oder~~ ^{oder} ~~blättrige~~ ^{blättrige} ~~oder~~ ^{oder} ~~sonstige~~ ^{sonstige} ~~Gestalt~~ ^{Gestalt} ~~darf~~ ^{darf} ~~aber~~ ^{aber} ~~nicht~~ ^{nicht} ~~als~~ ^{als} ~~Grundlage~~ ^{Grundlage} ~~für~~ ^{für} ~~die~~ ^{die} ~~Abbildung~~ ^{Abbildung} ~~der~~ ^{der} ~~Viskosität~~ ^{Viskosität} ~~von~~ ^{von} ~~einigen~~ ^{einigen} ~~Flüssigkeiten~~ ^{Flüssigkeiten} ~~beruht~~ ^{beruht} ~~auf~~ ^{auf} ~~der~~ ^{der} ~~Annahme~~ ^{Annahme} ~~dass~~ ^{dass} ~~die~~ ^{die} ~~Teilchen~~ ^{Teilchen} ~~an~~ ^{an} ~~der~~ ^{der} ~~Translations~~ ^{Translations} ~~und~~ ^{und} ~~Rotations~~ ^{Rotations} ~~Bewegung~~ ^{Bewegung} ~~der~~ ^{der} ~~Flüssigkeit~~ ^{Flüssigkeit} ~~Elemente~~ ^{Elemente} ~~unabhängig~~ ^{unabhängig} ~~verhalten~~ ^{verhalten} ~~und~~ ^{und} ~~nur~~ ^{und} ~~der~~ ⁱⁿ ~~Scherung~~ ^{dieser} ~~deformation~~ ^{Ermittlung} ~~durch~~ ^{über} ~~ein~~ ^{ein} ~~großes~~ ^{großes} ~~Widerstand~~ ^{Widerstand} ~~entgegensteht~~ ^{entgegensteht}, ~~welche~~ ^{welche} ~~die~~ ^{die} ~~Sturms~~ ^{Sturms} ~~Rechnung~~ ^{Rechnung} ~~beruht~~ ^{beruht}:

Handwritten text at the top of the page, including the word "Handwritten" and some illegible phrases.

Handwritten text in the middle section, featuring several lines of cursive script.

Handwritten text in the lower middle section, containing more cursive writing.

Handwritten text in the lower section, including some mathematical symbols and words.

Handwritten text at the bottom of the page, including the equation $\psi = 0.025$.

Handwritten text at the very bottom of the page, including the equation $\psi = 0.025$ and other illegible text.

Werten welche durch die nicht die Zähigkeit verändert würde
 noch Formel () nach experimentellen Daten ^{3/4} ~~bestimmt~~ ^{bestimmt} ~~Es kann~~ da offenbar gar keine Annäherung an die
 Wirklichkeit. Doch lassen sich ohne weiteres Formeln konstruieren, welche für sehr ~~geringe~~ verdünnte
 Lösungen mit der Einstein'schen (identisch) werden, aber für höhere Konzentrationen ^{mit} den experimentellen Zahlen
~~anschlüssen~~ ^{anschlüssen}. Dagegenweise führen, ist die Formel an

$$\eta = \eta_0 \frac{1}{[1 - \varphi - \frac{2}{3} \varphi^{5/3}]^{3/2}}$$

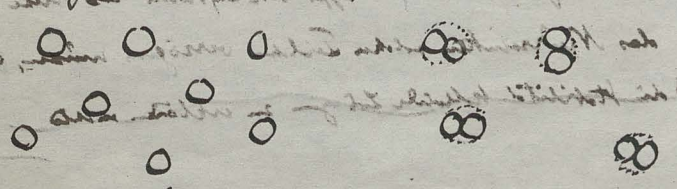
nach welcher die Zahlen der Reihe berechnet wurde. Man sieht dass sie das allgemeine Verhalten
 ganz befriedigend wiedergibt, ~~und~~ bei geringen Konzentrationen ^($\varphi = 0.0263$) mit den experimentellen ~~Zahlen~~
~~für $\varphi = 0.0263$ in gutem~~ ~~Übereinstimmung~~ und für große Verdünnung ~~in~~ () übergeht.

Gewichtprozent Benzol	0	5	12.51	25.02	50.03
Temperatur φ	0	0.0263	0.0658	0.1316	0.2633
Viskosität $\eta \cdot 10^5$	1.009	1.083	1.279	1.714	3.702
spezifische Zähigkeit	0	2.99	4.16	5.37	10.2
Viskosität η_1		1070	1169	1334	1658
	η_2	1083	1243	1663	4016

Die Vorlesung ist ebenfalls ^{unvollständig} ~~unvollständig~~ ^{bezüglich} ~~bezüglich~~ ^{der} ~~der~~ ^{Keine} ~~Keine~~ ^{Andeutung} ~~Andeutung~~ ^{zu} ~~zu~~ ^{finden} ~~finden~~ ^{zu} ~~zu~~ ^{bestimmen} ~~bestimmen~~,
 dass das bisherige Versuchsresultat durchaus nicht gegen Einsteins Formel spricht, ~~sondern~~ ^{sondern} dass es aber
 die Selbstgleichgewichte der Lösungen ^{stark} ~~stark~~ ^{bestimmend} ~~bestimmend ^{beeinflusst} ~~beeinflusst. ^{Die} ~~Die ^{Verwendung} ~~Verwendung ^{anderer} ~~anderer ^{Zahlen} ~~Zahlen ^{als} ~~als ^{η_2} ~~η_2~~ ^{mit} ~~mit ^{den} ~~den ^{experimentellen} ~~experimentellen ^{Zahlen} ~~Zahlen ⁱⁿ ~~in ^{Übereinstimmung} ~~Übereinstimmung~~ ^{steht} ~~steht~~.
 Dagegen wünscht man offenbar genauere Messungen ^{über} ~~über~~ ^{ein} ~~ein ^{angewandtes} ~~angewandtes~~ ^{Konzentrationsgebiet} ~~Konzentrationsgebiet~~ ^{anzustellen} ~~anzustellen~~.
 Eine Klärung der Frage wird weitere ^{dringend} ~~dringend ^{erwünscht} ~~erwünscht~~. Sie würden die Richtigkeit bieten,
 ungenügend, für alle Temperaturpunkte geltende Formeln abzuleiten.~~~~~~~~~~~~~~~~~~~~~~~~~~~~

Nachdem Autoren meinen darin einen Widerspruch zu erblicken dass die Zähigkeit nach Formel ()
 vom Dispersitätsgrad unabhängig ist, während andererseits bei Koagulation meist sehr bedeutende
 Viskositätszunahme erfolgt, und ^{nicht} ~~nicht~~ ^{erklärbar} ~~erklärbar~~ ^{ist} ~~ist~~ ^{durch} ~~durch~~ ^{einige} ~~einige~~ ^{Hypothese} ~~Hypothese~~ ^{(betreffend} ~~(betreffend ^{Dispersionsmittel)} ~~Dispersionsmittel)~~ [?] ~~?
~~erklären~~ ^{erklären} zu müssen.~~~~

Dagegenüber können wir, dass das Gesetz von der Unabhängigkeit vom Dispersitätsgrad keine
 Anwendung findet, sobald letzteres sich infolge Koagulation ändert, da ja in dieser Falle auch die
 Gestalt der sich bewegenden ^{einzelnen} ~~einzelnen~~ ^{Teilchen} ~~Teilchen ^{komplex} ~~komplex~~ ^{ändert} ~~ändert~~ wird. Würden sich z.B. je zwei kugelförmige Teilchen
~~einigen~~ ^{ein} ~~einander~~ ^{einander} ^{haften} ~~haften, so würde solches Doppeltelchen selbstverständlich weit ^{stärker} ~~stärker~~ ^{als} ~~als~~ ^{einzelne} ~~einzelne~~ ^{Teilchen} ~~Teilchen~~
~~ein~~ ^{ein} ~~einzelne~~ ^{einzelne} ^{Kugel} ~~Kugel~~ ^{von} ~~von ^{doppelt} ~~doppelt~~ ^{em} ~~em ^{Volume} ~~Volume~~, ~~da~~ ^{da} ~~da~~ ^{die} ~~die~~ ⁱⁿ ~~in ^{der} ~~der ^{Flüssigkeit} ~~Flüssigkeit ^{so} ~~so ^{stark} ~~stark~~ ^{unbeweglich} ~~unbeweglich~~ ^{ist} ~~ist
^{langgestreckte} ~~langgestreckte~~ ^{Teilchen} ~~Teilchen ^{eine} ~~eine~~ ^{stärkere} ~~stärkere ^{Wirkung} ~~Wirkung~~ ^{haben} ~~haben~~ ^{muss} ~~muss~~ ^{als} ~~als~~ ^{eine} ~~eine~~ ^{Kugel} ~~Kugel~~ ^{von} ~~von~~ ^{gleichem} ~~gleichem ^{Volume} ~~Volume~~.
 (dem früher Gesagten zufolge) Man kann sich ^{dies} ~~dies~~ ^{leicht} ~~leicht~~ ^{erklären} ~~erklären~~ ^{anhand} ~~anhand~~ ^{von} ~~von~~ ^{einigen} ~~einigen~~ ^{Beispielen} ~~Beispielen~~ ^{aus} ~~aus~~ ^{der} ~~der~~ ^{Chemie} ~~Chemie~~ ^{und} ~~und~~ ^{Physik} ~~Physik~~ ^{erklären} ~~erklären~~.~~~~~~~~~~~~~~~~~~~~~~~~



[Faint handwritten text at the top of the page, possibly bleed-through from the reverse side.]

$$p = \frac{1}{1 - \frac{1}{2} + \frac{1}{4} - \frac{1}{8} + \dots}$$

[Faint handwritten text below the equation, possibly describing a series or a mathematical property.]

20.03	17.51	15.21	13.01	11.01	9.51	8.21	7.11	6.11	5.21	4.41	3.71	3.11	2.61	2.11	1.71	1.41	1.11	0.81	0.61	0.41	0.31	0.21	0.11	0.01
20.03	17.51	15.21	13.01	11.01	9.51	8.21	7.11	6.11	5.21	4.41	3.71	3.11	2.61	2.11	1.71	1.41	1.11	0.81	0.61	0.41	0.31	0.21	0.11	0.01
20.03	17.51	15.21	13.01	11.01	9.51	8.21	7.11	6.11	5.21	4.41	3.71	3.11	2.61	2.11	1.71	1.41	1.11	0.81	0.61	0.41	0.31	0.21	0.11	0.01
20.03	17.51	15.21	13.01	11.01	9.51	8.21	7.11	6.11	5.21	4.41	3.71	3.11	2.61	2.11	1.71	1.41	1.11	0.81	0.61	0.41	0.31	0.21	0.11	0.01

[Faint handwritten text in the middle section, possibly a continuation of the mathematical discussion.]

[Handwritten text enclosed in a bracket, possibly a note or a specific observation.]

[Faint handwritten text at the bottom of the page, including some circled symbols and possibly a signature or date.]

